

01;09

Рассеяние плоских электромагнитных волн на кирально-металлическом цилиндре

© В.А. Неганов, О.В. Осипов

Поволжская государственная академия телекоммуникаций
и информатики, Самара

Поступило в Редакцию 29 января 1999 г.

С помощью метода частичных областей решена задача рассеяния плоских электромагнитных волн (ЭМВ) E - и H -поляризации на металлическом цилиндре, покрытом киральным слоем. Исследован характер поля рассеяния в ближней и дальней зонах. Изучено влияние типа поляризации падающей ЭМВ на рассеяние деполаризованной компоненты.

В настоящее время наблюдается повышенный интерес к изучению взаимодействия электромагнитного излучения СВЧ и КВЧ диапазонов с так называемыми киральными средами. Явление киральности связано с нарушением зеркальной симметрии частиц, образующих среду [1]. Киральная среда обычно образуется из элементов одного и того же типа, равномерно распределенных и хаотически ориентированных в изотропной среде [2]. Материальные уравнения для таких сред связывают напряженности электрического и магнитного поля как с электрической \mathbf{D} , так и с магнитной индукцией \mathbf{B} . При взаимодействии электромагнитной волны с киральной средой наблюдается ряд специфических эффектов. Во-первых, внутри такой среды распространяются две волны с право- и левовинтовой круговыми поляризациями, имеющие различные постоянные распространения [2,3]. Во-вторых, при отражении электромагнитной волны от киральной среды наблюдается появление так называемой деполаризованной компоненты (а именно в составе отраженной волны появляются составляющие, отсутствующие в падающей). Это происходит вне зависимости от типа поляризации падающей волны. Деполаризованное поле появляется вследствие того, что, например, для E -поляризованной падающей волны нормальная электрическая компонента возбуждает в среде как электрический, так и магнитный дипольные моменты.

Ниже приведено решение задачи рассеяния плоской электромагнитной волны (ПЭМВ) на киральном круговом цилиндре, вдоль геометрической оси которого помещен тонкий металлический стержень с бесконечной проводимостью методом частичных областей. В качестве предельного случая рассмотрена задача рассеяния ПЭМВ на однородном киральном цилиндре [4,5].

Материальные уравнения для киральной среды в одной из форм записи (зависимость от времени — $e^{i\omega t}$) имеют вид

$$\mathbf{D} = \varepsilon_c \mathbf{E} - i\xi \mu \mathbf{H}, \quad \mathbf{B} = \mu \mathbf{H} + i\xi \mu \mathbf{E}, \quad (1)$$

где $\varepsilon_c = \varepsilon + \mu \xi^2$ — киральная проницаемость, ε и μ — диэлектрическая и магнитная проницаемость среды, ξ — параметр киральности (случай $\xi = 0$ соответствует обычной диэлектрической среде). Следует отметить, что наряду с (1) существуют и другие формы записи материальных уравнений для киральной среды (см., например, [6,7]).

Уравнения Максвелла для поля в киральной среде могут быть записаны следующим образом:

$$\nabla \times \mathbf{H} = k(\varepsilon_c \mathbf{E} + \xi \mu \mathbf{H}), \quad \nabla \times \mathbf{E} = k(\mu \mathbf{H} + \xi \mu \mathbf{E}), \quad (2)$$

где k — волновое число для свободного пространства, \mathbf{H} нормировано на $i\eta_0^{-1}$, $\eta_0 = \sqrt{\mu_0/\varepsilon_0}$ — волновое сопротивление для вакуума.

Рассмотрим падение ПЭМВ определенной поляризации на изотропный киральный цилиндр радиуса R , не ограниченный вдоль направления z , вдоль геометрической оси которого помещен тонкий проводящий стержень радиуса R_0 (рис. 1, a). В предположении отсутствия вариации поля вдоль оси $0z$ ($\partial/\partial z=0$) поле падающей волны с единичной амплитудой зададим в виде:

$$\begin{aligned} \mathbf{E}'(r, \varphi) &= \mathbf{z}_0 e^{-ikr \cos \varphi}, \\ \mathbf{H}'(r, \varphi) &= -\varphi_0 \cos \varphi e^{-ikr \cos \varphi} + \mathbf{r}_0 \sin \varphi e^{-ikr \cos \varphi} \end{aligned} \quad (3a)$$

для случая падения E -поляризованной волны и

$$\begin{aligned} \mathbf{H}'(r, \varphi) &= \mathbf{z}_0 e^{-ikr \cos \varphi}, \\ \mathbf{E}'(r, \varphi) &= -i\varphi_0 \cos \varphi e^{-ikr \cos \varphi} + i\mathbf{r}_0 \sin \varphi e^{-ikr \cos \varphi} \end{aligned} \quad (3б)$$

для случая падения H -поляризованной волны, где \mathbf{r}_0 , φ_0 , \mathbf{z}_0 — единичные орты цилиндрической системы координат.

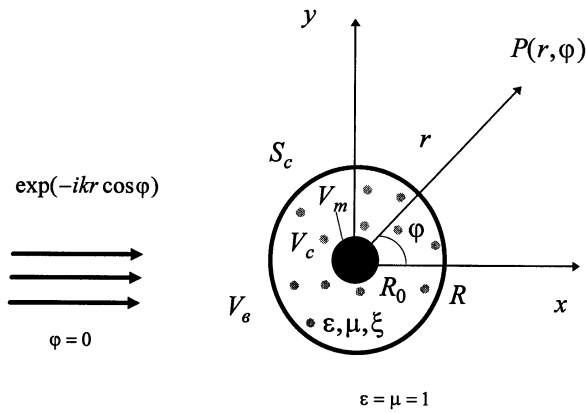


Рис. 1. Геометрия задачи: металлический стержень в киральной оболочке.

Известно, что распространение волн в киральной среде подчиняется двум связанным дифференциальным уравнениям вида [3]:

$$\begin{cases} \{\Delta + k_c^2\} E_z - (\xi\mu/\varepsilon_c) \{\Delta - k_c^2\} H_z = 0, \\ \{\Delta + k_c^2\} H_z - \xi \{\Delta - k_c^2\} E_z = 0, \end{cases} \quad (4)$$

где $k_c^2 = k^2\varepsilon\mu$, Δ — лапласиан по переменным r и φ .

Система уравнений (4) решается при помощи стандартной замены вида [4]:

$$E_z = E_R + E_L, \quad H_z = \sqrt{\varepsilon_c/\mu} (E_R - E_L).$$

В результате с учетом уравнений (4) для составляющих электромагнитного поля, представленных в виде рядов Фурье по координате φ , нетрудно записать следующие соотношения ($R_0 < r < R$):

$$\begin{aligned} E_z &= \sum_{n=-\infty}^{+\infty} \left(A_n^R J_n(k_R r) + B_n^R Y_n(k_R r) + A_n^L J_n(k_L r) + B_n^L Y_n(k_L r) \right) e^{in\varphi}, \\ H_z &= \sqrt{\varepsilon_c/\mu} \sum_{n=-\infty}^{+\infty} \left(A_n^R J_n(k_R r) + B_n^R Y_n(k_R r) - A_n^L J_n(k_L r) - B_n^L Y_n(k_L r) \right) e^{in\varphi}, \end{aligned}$$

$$H_\varphi = -\frac{1}{k\varepsilon\mu} \left\{ \varepsilon_c \frac{dE_z}{dr} - \xi\mu \frac{dH_z}{dr} \right\}, \quad E_\varphi = -\frac{1}{k\varepsilon} \left\{ \frac{dH_z}{dr} - \xi \frac{dE_z}{dr} \right\}, \quad (5)$$

где $J_n(\chi)$ — функция Бесселя, $Y_n(\chi)$ — функция Неймана. $A_n^R, A_n^L, B_n^R, B_n^L$ — некоторые неизвестные коэффициенты.

Для случая однородного кирального цилиндра (рис. 1, *b*) в (5) необходимо положить $B_n^R = B_n^L = 0$ ($\forall n$).

Соотношения (5) подтверждают тот факт, что при любой поляризации падающей волны внутри киральной среды появляются как E_z -, так и H_z -компоненты.

Для отраженной от кирального цилиндра волны справедливы другие уравнения ($r > R$):

$$(\Delta + k^2) \begin{Bmatrix} E_z'' \\ H_z'' \end{Bmatrix} = 0. \quad (6)$$

Здесь учтено, что во внешней области происходит деполяризация электромагнитного поля и всегда существуют обе нормальные компоненты E_z и H_z . Поэтому несложно записать решение уравнений (6) во внешней области ($r > R$) в виде:

$$\begin{aligned} E_z'' &= \sum_{n=-\infty}^{+\infty} C_n H_n^{(2)}(kr) e^{in\varphi}, & H_z'' &= \sum_{n=-\infty}^{+\infty} D_n H_n^{(2)}(kr) e^{in\varphi}, \\ H_\varphi'' &= - \sum_{n=-\infty}^{+\infty} C_n H_n^{(2)'}(kr) e^{in\varphi}, & E_\varphi'' &= - \sum_{n=-\infty}^{+\infty} D_n H_n^{(2)'}(kr) e^{in\varphi}, \end{aligned} \quad (7)$$

где $H_n^{(2)}(v)$ — функция Ханкеля II-го рода, $H_n^{(2)'}(v)$ — ее производная по всему аргументу v .

Воспользовавшись граничными условиями при $r = R_0$

$$E_z = 0, \quad E_\varphi = 0 \quad (8a)$$

и при $r = R$

$$\begin{aligned} E_z &= E_z' + E_z'', & H_z &= H_z' + H_z'', \\ E_\varphi &= E_\varphi' + E_\varphi'', & H_\varphi &= H_\varphi' + H_\varphi'', \end{aligned} \quad (8b)$$

нетрудно получить систему из шести алгебраических уравнений для определения коэффициентов $A_n^{R,L}, B_n^{R,L}, C_n, D_n$, причем в зависимости от

вида поляризации необходимо подставлять соответствующие выражения для падающего поля ((3а) или (3б)). Причем для случая однородного кирального цилиндра (без металлического стержня) выражения для этих коэффициентов записываются в явном виде ($B_n^R = B_n^L = 0$).

Исходя из выражений (7), можно записать соотношения для отраженного поля в дальней зоне ($kr \rightarrow \infty$) (с использованием аналитического представления для функции Ханкеля 2-го рода [8]):

$$\begin{Bmatrix} E_z'' \\ H_z'' \end{Bmatrix} \approx \sqrt{2/\pi kr} e^{-i(kr-\pi/4)} \sum_{n=-\infty}^{+\infty} \begin{Bmatrix} C_n \\ D_n \end{Bmatrix} e^{in(\varphi+\pi/2)}. \quad (9)$$

Для дальней зоны обычно вводят новый параметр — сечение поля рассеяния, который в нашем случае определяется следующим образом:

$$\begin{Bmatrix} \sigma_\varphi^E/\lambda \\ \sigma_\varphi^H/\lambda \end{Bmatrix} = 10 \lg \left| \sum_n \begin{Bmatrix} C_n \\ D_n \end{Bmatrix} e^{in(\varphi+\pi/2)} \right|^2, \quad (10)$$

где верхние индексы E и H относятся соответственно для случаев падения E - и H -поляризованных волн.

На рис. 2, а, б представлены зависимости поля рассеяния от угла φ для E - и H -поляризованных падающих ПЭМВ при различных геометрических размерах металлического стержня и кирального цилиндра. При численном анализе использовались следующие параметры киральной среды: $\epsilon = 3.5 - i0.2$, $\mu = 2.2 - i0.2$, $\xi = 0.3$, при которых влияние киральности на волновые процессы весьма велико. На рис. 2, а для сравнения приведены двухпозиционные диаграммы поля рассеяния для однородного кирального цилиндра ($kR_0 = 0$) и однородного диэлектрического цилиндра ($kR_0 = 0$, $\xi = 0$) для случая падения E -поляризованной волны. Как видно из рис. 2, а, для случая падения поляризованной ПЭМВ при $\varphi = 0$ наблюдается максимум отражения для однородных кирального и диэлектрического цилиндра. Введение проводящего стержня "сглаживает" диаграмму рассеяния в том смысле, что дифракционное поле не имеет резких минимумов и максимумов. Увеличение радиуса проводящего стержня kR_0 до 0.7 не меняет характера рассеяния волны от рассматриваемой структуры.

На рис. 2, б представлены аналогичные зависимости для случая H -поляризованной падающей ЭМВ. Как видно из графиков, при $\varphi = 0$ наблюдается максимум поля рассеяния для однородных цилиндров, а

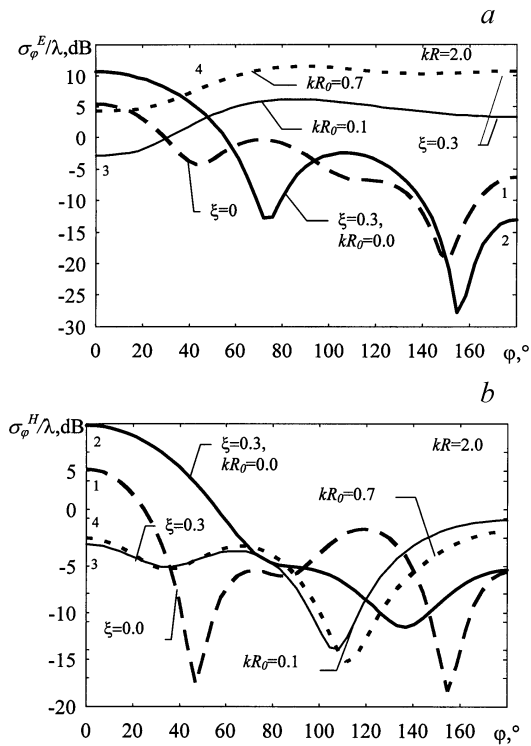


Рис. 2. Зависимости сечения поля рассеяния от угла падения волны: *a* — *E*-поляризованная падающая волна, *b* — *H*-поляризованная падающая волна. Обозначения: 1 — однородный диэлектрический цилиндр с потерями, 2 — однородный киральный цилиндр, 3, 4 — металлические цилиндры, покрытые киральными слоями.

для кирально-металлического рассеивателя поля при $\varphi = 0$ и $\varphi = \pi$ практически совпадает по величине. Увеличение радиуса kR_0 не дает каких-либо изменений в характере рассеяния.

При рассмотрении поля рассеяния в ближней зоне (расчет по формулам (7)) нами сделан интересный вывод относительно отражения деполаризованной компоненты. При падении *E*-поляризованной ПЭМВ

введение в киральный цилиндр проводящего стержня уменьшает величину этой компоненты, а при падении H -поляризованной ПЭМВ наоборот увеличивает. Также было выяснено, что наличие потерь в киральной среде (мнимых частей ε и μ) увеличивает деполаризованное поле для обоих типов поляризаций падающей волны.

Список литературы

- [1] Костин М.В., Шевченко В.В. // Радиотехника и электроника. 1998. Т. 43. № 8. С. 921.
- [2] Дмитренко А.Г., Корогодов С.В. // Радиофизика. 1998. Т. 46. № 4. С. 495.
- [3] Неганов В.А., Осипов О.В., Сидорова М.А. // Физика волновых процессов и радиотехнические системы. 1998. Т. 1. № 1. С. 12.
- [4] Федоренко А.И. // Радиотехника и электроника. 1995. Т. 40. № 3. С. 381.
- [5] Vohren C.F. // J. Colloid Interface Sci. 1978. V. 66. N 1. P. 105.
- [6] Третьяков С.А. // Радиотехника и электроника. 1994. Т. 39. № 2. С. 184–192.
- [7] Каценеленбаум Б.З., Коршунова Е.Н., Сивов А.Н., Шатров А.Д. // УФН. 1997. Т. 167. № 11. С. 1201.
- [8] Абрамовиц М., Стиган И. Справочник по специальным функциям с формулами, графиками и математическими таблицами. М.: Наука, 1979.